

сообщения  
объединенного  
института  
ядерных  
исследований  
Дубна

7

521/82

1/2-82

P9-81-712

С.Н.Доля, Е.П.Каданцева, С.Б.Рубин

О СТРУКТУРЕ ПОЛЯ  
ПЕРЕХОДНОГО ИЗЛУЧЕНИЯ СГУСТКА,  
ПРОЛЕТАЮЩЕГО СКВОЗЬ ПЛОСКИЕ ЭКРАНЫ

1981

Известно, что при пропускании сильнооточного релятивистского электронного пучка сквозь фольгу амплитуда поля переходного излучения достигает значительной величины. В<sup>1/</sup> Ломизе обратил внимание на существование при переходном излучении области "замороженного" поля, такой, что в ней некоторое время существует чисто электростатическое поле. По истечении времени, равного величине  $b/c$  /где  $b$  - радиальный размер пучка,  $c$  - скорость света/, когда распространяющееся от места влета вихревое поле достигает "замороженной области", эта область "оттаивает", и у поля появляются все компоненты.

В данной работе показано, что время существования поля со значительной напряженностью несколько больше отношения  $b/c$  и определяется скоростью "вытекания" запасенной энергии. Получены аналитические формулы для вычисления времени жизни поля в случае влета в резонатор бесконечно тонкого диска.

1. Для уточнения длительности существования области "замороженного" поля рассматривалась модельная задача влета сгустка электронов в замкнутый коаксиальный резонатор /рис.1/ длиной 4 см, внутренним радиусом 1 см и наружным 7 см. Сгусток тороидальной формы со средним радиусом  $R=4$  см, радиальной толщиной 2 см и аксиальным размером 0,75 см, с полным числом электронов  $N=10^{18}$  влетает в резонатор через левую торцевую стенку со скоростью  $\beta_z = 0,95$ .

Методом сеток определялась карта полей  $E_r$ ,  $E_z$ ,  $H_\phi$  во всем объеме резонатора. Значения полей рассчитывались в 23 точках

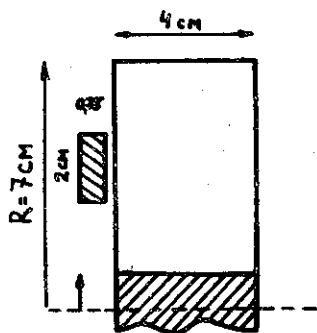


Рис. 1

вдоль оси  $z$  и 10 точках по радиусу для ряда фиксированных положений центра сгустка в резонаторе  $z_{ц} = c\beta_z t$ .

Основные результаты следующие. Поле, оставленное сгустком в резонаторе, имеет порядок величины МВ/см. Однополярность  $E_z$  существует значительно дольше, чем "замороженное" поле, что иллюстрируется графиками на рис.2 и 3. На рис.2 приведена зависимость  $H_\phi$  в эрстедах от координаты  $z$  на радиусе 4 см для различных положений центра сгустка  $z_{ц} = n/32$  /см/; так,  $n = 16$  соответствует  $z_{ц} = 0,5$  см, для  $n = 32$   $z_{ц} = 1$  см и т.д.

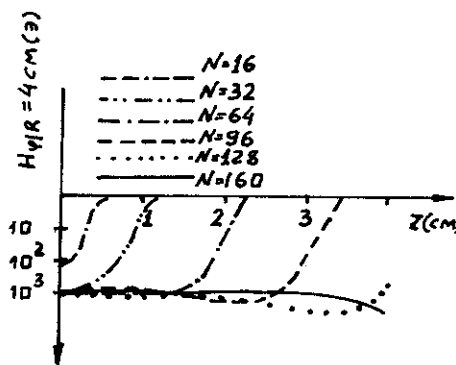


Рис. 2

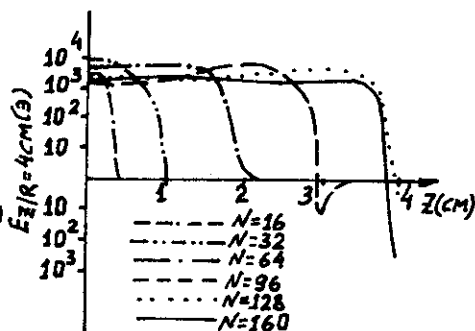


Рис. 3

На рис. 3 дана зависимость  $E_z$  на радиусе  $r = 4$  см для тех же значений  $z_{ц}$ . Видно, что во время нахождения сгустка в резонаторе и даже после его вылета  $E_z$  униполярно. При этом фронт поля распространяется вместе со сгустком, несколько обгоняя его. В течение некоторого времени перед сгустком существует область, свободная от поля.

2. Для более подробного рассмотрения, несколько изменив постановку задачи, можно получить аналитические зависимости. Пусть сгусток - бесконечно тонкий диск радиуса  $b$  проникает в пространство между двумя идеально проводящими плоскостями, двигаясь со скоростью  $v = c\beta$ . Расстояние между плоскостями  $h$ .

Используя кулоновскую калибровку потенциалов поля и разложения по собственным функциям цилиндрической области, где  $h$  - расстояние между торцевыми плоскостями;  $a$  - радиус, и положив  $a \rightarrow \infty$ , получим [2], например, следующее выражение для вихревой части  $z$ -й составляющей поля  $E$  внутри области:

$$E_z^\perp = (E_z^\perp)_1 + (E_z^\perp)_2, \quad //$$

\*После вылета сгустка из резонатора оставленное в его объеме поле является суперпозицией колебаний, соответствующих собственным частотам резонатора.

где

$$(E_z^\perp)_1 = \frac{8\pi Q\beta^2}{bh} \sum_{m=1}^{\infty} m \cos \frac{m\pi z}{h} \sin \frac{m\pi\beta\xi}{h} \int_0^{\infty} \frac{J_1(sb)J_0(sr)s^2 ds}{[s^2 + (m\pi/h)^2][s^2 + (m\pi/h\gamma)^2]}, \quad /2/$$

$$(E_z^\perp)_2 = - \frac{4Q\beta}{bh} \sum_{m=0}^{\infty} \epsilon_m \cos \frac{m\pi z}{h} \int_0^{\infty} \frac{J_1(sb)J_0(sr) \sin(\xi \sqrt{s^2 + (\frac{m\pi}{h})^2}) s^2}{\sqrt{s^2 + (\frac{m\pi}{h})^2} [s^2 + (\frac{m\pi}{h\gamma})^2]} ds. \quad /3/$$

В /2/, /3/ знаком  $\perp$  отмечена принадлежность к вихревой части поля;  $\gamma = (1 - \beta^2)^{-1/2}$ ;  $\epsilon_m = \begin{cases} 1 & \text{при } m=0, \\ 2 & \text{при } m \neq 0, \end{cases}$   $Q$  - полный заряд сгустка;  $\xi = ct$ . Продольная часть  $E$  выражается через скалярный потенциал:

$$E_z^{\parallel} = - \frac{\partial \phi}{\partial z},$$

и при конечном радиусе  $a$

$$\phi = \frac{16Q}{abh} \sum_{\ell, m=1}^{\infty} \frac{J_1(\nu_\ell \frac{b}{a}) J_0(\nu_\ell \frac{r}{a})}{\nu_\ell J_1^2(\nu_\ell) [(\nu_\ell/a)^2 + (m\pi/h)^2]} \sin \frac{m\pi z}{h} \sin \frac{m\pi x(t)}{h}, \quad /4/$$

где  $\nu_\ell$  - корни уравнения  $J_0(\xi) = 0$ ;  $x(t)$  - положение центра сгустка на оси  $Oz$  в момент  $t$ . В /2'/ было выполнено суммирование ряда /4/ по радиальным функциям, то есть по  $\ell$ . В результате этого аналитически выделилась разрывная часть\*. Используя результат /2', окончательное выражение для  $E_z^{\parallel}$  после предельного перехода  $a \rightarrow \infty$  приводим к виду /нас интересует случай  $r < b$ /:

$$E_z^{\parallel} |_{r < b} = \frac{8Q}{bh} \sum_{m=1}^{\infty} I_0\left(\frac{m\pi r}{h}\right) K_1\left(\frac{m\pi b}{h}\right) \cos \frac{m\pi z}{h} \sin \frac{m\pi x(t)}{h} - \frac{4Q}{b^2} \begin{cases} -\frac{x}{h} & \text{при } z > x(t), \\ 1 - \frac{x}{h} & \text{при } z < x(t), \end{cases} \quad /5/$$

в /5/  $x(t) = c\beta t = \beta\xi$ . Интегралы в /2/ можно вычислить, и тогда при  $r < b$   $(E_z^\perp)_1$  принимает следующий вид:

$$(E_z^\perp)_1 = - \frac{8Q}{bh} \sum_{m=1}^{\infty} I_0\left(\frac{m\pi r}{h}\right) K_1\left(\frac{m\pi b}{h}\right) \cos \frac{m\pi z}{h} \sin \frac{m\pi\beta\xi}{h} + \frac{8Q}{bh\gamma} \sum_{m=1}^{\infty} I_0\left(\frac{m\pi r}{h\gamma}\right) K_1\left(\frac{m\pi b}{h\gamma}\right) \cos \frac{m\pi z}{h} \sin \frac{m\pi\beta\xi}{h}, \quad /6/$$

\* Ряд /4/ нельзя дифференцировать почленно, так как ряд, получающийся после дифференцирования, не является равномерно сходящимся /при  $z = x(t)$  функция  $\phi'(z)$  содержит разрывную часть/.

поэтому

$$[E_z^{\parallel} + (E_z^{\perp})_1]_{r < b} = -\frac{4Q}{b^2} \left\{ \begin{array}{l} -\frac{\beta\xi}{h} \quad \text{при } z > \beta\xi \\ 1 - \frac{\beta\xi}{h} \quad \text{при } z < \beta\xi \end{array} \right\} + \frac{8Q}{bh} \sum_{m=1}^{\infty} I_0\left(\frac{m\pi r}{hy}\right) K_1\left(\frac{m\pi b}{hy}\right) \cos\frac{m\pi z}{h} \sin\frac{m\pi\beta\xi}{h} \quad /7/$$

При условии  $\xi < b-r$  ( $m \neq 0$ ) вычисляются и интегралы в /3/, в результате чего  $(E_z^{\perp})_2$  может быть представлено как

$$(E_z^{\perp})_2 \Big|_{\xi < b-r} = -\frac{8Q}{bh} \sum_{m=1}^{\infty} \cos\frac{m\pi z}{h} \sin\frac{m\pi\beta\xi}{h} I_0\left(\frac{m\pi r}{hy}\right) K_1\left(\frac{m\pi b}{hy}\right) - \frac{4Q\beta}{bh} \int_0^{\infty} J_1(sb) J_0(sr) \sin(\xi s) \frac{ds}{s} \quad /8/$$

Теперь полное значение  $E_z$  будет следующим:

$$[E_z^{\parallel} + (E_z^{\perp})_1 + (E_z^{\perp})_2]_{\xi < b-r} = -\frac{4Q}{b} \left\{ \begin{array}{l} -\beta\xi/h \quad \text{при } z > \beta \\ 1 - \beta\xi/h \quad \text{при } z < \beta\xi \end{array} \right\} - \frac{4Q\beta}{bh} \int_0^{\infty} J_1(sb) J_0(sr) \sin(s\xi) \frac{ds}{s} \quad /9/$$

Но при том же условии  $\xi < b-r$  интеграл в /9/ равен  $\xi/b$ , поэтому окончательно получим

$$E_z^{\perp} \Big|_{\xi < b-r} = -\frac{4Q}{b^2} \left\{ \begin{array}{l} 0 \quad \text{при } h \geq z < \beta\xi \\ 1 \quad \text{при } 0 < z < \beta\xi \end{array} \right\}, \quad \beta\xi = x(t) \quad /10/$$

Если рассматривать поле на оси ( $r=0$ ), то из /10/ следует, что в области  $\xi < b$  перед сгустком поле отсутствует, а за сгустком оно постоянно и "заморожено". Когда  $\xi = b$ , возмущение, распространяющееся от места влета сгустка /точнее, от точек  $r = b$ ,  $z = 0$  /, достигает оси и поле начинает меняться. Такая ситуация и рассмотрена в /1/.

Когда фронт волны пройдет область "замороженного" поля и "разморозит" его, еще в течение определенного времени запасенная в этой области энергия будет уменьшаться со скоростью, определяемой вектором Пойнтинга  $\sim c \frac{E_z H_{\phi}}{4\pi}$ . Таким образом, время существования значительного поля будет порядка  $bE_z/cH_{\phi}$ , что превышает время существования замороженного поля  $\tau \sim b/c$ , так как величина  $E_z/H_{\phi} > 1$  особенно велика сразу после "размораживания" поля.

Заметим, что в момент  $\xi = h/\beta \rightarrow 0$  для  $z < b\xi$  два первых слагаемых в /9/

$$E_z = (E_z^1)_1 = 0,$$

т.е. после вылета сгустка из области между пластинами оставшееся поле не содержит продольной составляющей. Оно описывается однородными уравнениями для осцилляторов поля с начальными значениями, соответствующими условиям их возбуждения в момент  $\xi = h/\beta$ . Ограничиваясь частью поля без вариации по  $z$  /наиболее существенной, например, для продольного ускорения ионов/, представим для  $\xi > h/\beta$   $E_z$  в виде

$$E_z = -\frac{4Q\beta}{hb} \int_0^\infty J_1(sb) J_0(sr) [\sin(s\xi) - \sin\{s(\xi - \frac{h}{\beta})\}] \frac{ds}{s} = -\frac{4Q\beta}{hb} \theta. \quad /11/$$

Черта сверху указывает, что взята только не зависящая от  $z$  часть полной составляющей  $E_z$ .

Будем рассматривать поле по оси  $z$ . В этом случае вычисление интеграла дает

$$\theta = \begin{cases} \frac{h}{b\beta} (1 - \frac{\beta}{h} \sqrt{\xi^2 - b^2}), & \text{если } \frac{h}{\beta} < \xi < b + \frac{h}{\beta}, \\ \frac{h}{b\beta} [1 - \frac{2\xi - h/\beta}{\sqrt{(\xi - h/\beta)^2 - b^2 + \xi^2 - b^2}}], & \text{если } \xi > b + h/\beta. \end{cases} \quad /12/$$

Наконец, если выполнено условие  $h/\beta < b$ , то имеем еще дополнительно

$$\theta = \frac{h}{b\beta} \quad \text{при } \xi < b. \quad /13/$$

Значение  $\theta$  при  $\xi > b + h/\beta$  меняет знак и при  $\xi \rightarrow \infty$  стремится к нулю\*. Таким образом, изменение направления  $\vec{E}_z$  происходит в промежутке  $h/\beta < \xi < b + h/\beta$  и соответствующее критическое значение  $\xi$  есть

$$\xi_{\text{крит.}} = \sqrt{b^2 + (h/\beta)^2}. \quad /14/$$

Учитывая /10/, в случае  $h/\beta < b$  можно представить  $\vec{E}_z$  в области за сгустком в виде графика, приведенного на рис. 4.

Естественно, что при наличии "толщины" у сгустка и размытого фронта приведенные соотношения будут иметь только качественный смысл.

\* Поле распространяется из приосевой области в радиальном направлении.

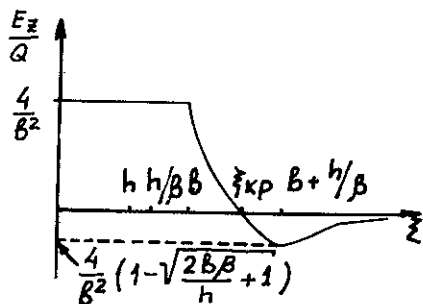


Рис. 4

Анализ распределения поля /рис. 4/ показывает, что если фронт пучка /в нашей модели это заряженный диск/ пройдет между плоскостями /например, из фольги/, не останавливаясь в промежутке между ними, то время существования униполярного электрического поля

$$t_{\text{крит}} = \frac{1}{c} \sqrt{b^2 + (h/\beta)^2} \dots$$

Аналитическое выражение для соответствующего суммарного поля громоздко и его трудно анализировать. Однако результаты расчета для достаточно тонкого в радиальном направлении кольца /см. рис. 2, 3/ показывают, что однополярное поле за сгустком существует и после "размораживания" в течение длительного промежутка - практически в течение всего времени нахождения сгустка в зазоре. Длительность существования замороженного поля тем больше, чем больше радиальная ширина пучка. Напряженность поля переходного излучения может достигать значительной величины - порядка напряженности кулоновского поля пучка.

Из результатов работ по исследованию дифракционного излучения /см., например, /3/ / следует, что сила ускорения сгустка, подлетающего с релятивистской скоростью к экрану, меньше силы торможения, действующей на сгусток за ним. Такое различие возникает вследствие того, что сгусток движется с релятивистской скоростью. При подлете к препятствию возникает небольшое встречное поле, которое ускоряет сгусток /но тормозило бы ионы/. При прохождении пучком последовательности экранов униполярное поле будет возбуждаться в каждом зазоре.

Из этого следует также, что при достижении электронным сгустком релятивистской скорости эффективная потенциальная яма для ионов /см. /4/ / при прохождении системы экранов расширяется в область за сгустком, глубина ямы при этом практически не уменьшается.

3. Можно несколько изменить постановку задачи, удалив второй экран, то есть принять  $h = \infty$ . Приведенные в разделе 2 формулы в этом случае допускают дальнейшие преобразования. Положив в формуле /3/, дающей собственно поле излучения,  $\pi/h = d\eta$ ,  $m\pi/h = \eta$ , при  $h \rightarrow \infty$  переходим от суммирования к интегрированию. Введя в двойном интеграле полярные координаты, получим

$$(E_z^\perp)_2 = \frac{-8Q\beta}{2\pi} \int_0^{2\pi} \frac{\cos^2 \phi d\phi}{(\cos^2 \phi + \sin^2 \phi / \gamma^2)} \times \quad /15/$$

$$\times \int_0^\infty J_1(Rb \cos \phi) J_0(Rr \cos \phi) \{ \sin [R(\xi - z \sin \phi)] + \sin [R(\xi + z \sin \phi)] \} dR.$$

Рассматривая поле на оси  $r=0$ , можно вычислить внутренний интеграл в /15/, тогда в случае, если  $\xi < \sqrt{b^2 + z^2}$ , получим

$$(E_z^\perp)_2 \Big|_{r=0} = - \frac{8Q\beta}{2\pi b^2} \left[ \int_{\phi_1^{(-)}}^{\phi_2^{(-)}} \frac{(\xi - z \sin \phi) \cos \phi d\phi}{[\cos^2 \phi + \frac{1}{\gamma^2} \sin^2 \phi] \sqrt{b^2 \cos^2 \phi - (\xi - z \sin \phi)^2}} + \right. \quad /16/$$

$$\left. + \int_{\phi_1^{(+)}}^{\phi_2^{(+)}} \frac{(\xi + z \sin \phi) \cos \phi d\phi}{[\cos^2 \phi + \frac{1}{\gamma^2} \sin^2 \phi] \sqrt{b^2 \cos^2 \phi - (\xi + z \sin \phi)^2}} \right],$$

где

$$\phi_1^{(-),(+)} = \mp \arccos \frac{\xi}{\sqrt{b^2 + z^2}} + \operatorname{arctg} \frac{z}{b},$$

$$\phi_2^{(-),(+)} = \mp \arccos \frac{\xi}{\sqrt{b^2 + z^2}} - \operatorname{arctg} \frac{z}{b}.$$

При  $\xi > \sqrt{b^2 + z^2}$  интеграл /16/ обращается в нуль. Физически это означает, что фронт излучения миновал точку наблюдения  $z$ . Таким

образом, при  $\xi > \sqrt{b^2 + z^2}$  поле определяется квазистатическими членами, получающимися из формулы /7/ после предельного перехода  $\hbar \rightarrow \infty$ . Существовав этот предельный переход, получим вместо суммы /7/ интеграл. Последний можно вычислить и, например, для случая  $r=0$ ,  $z < \beta \xi$  получается выражение

$$(E_z^\parallel + (E_z^\perp)_1) = \frac{4Q}{b^2} \left[ -1 + \frac{\beta \xi - z}{2\sqrt{b^2/\gamma^2 + (\beta \xi - z)^2}} + \frac{\beta \xi + z}{2\sqrt{b^2/\gamma^2 + (\beta \xi + z)^2}} \right]. \quad /17/$$

Условие  $z < \beta \xi$  означает, что наблюдение поля ведется во время, когда сгусток уже пролетел точку наблюдения  $z$ . Видно, что один из членов в /17/ относится к полю сгустка, движущегося в пространстве, а второй - к полю его изображения в экране ( $z=0$ ). Постоянная часть в /17/ исчезла бы при условии  $z > \beta \xi$ , то есть она относится к собственному полю сгустка, которое изменяется при его пересечении\*. Подобная интерпретация квазистатических членов уже отмечалась в /5/.

\*Необходимо напомнить, что сгусток - бесконечно тонкий диск радиуса  $b$ , а поле рассматривается только на оси /при  $r=0$  /.



Учитывая, что фронт волны излучения к рассматриваемому моменту времени уже миновал точку наблюдения и не влияет на величину поля в ней, интересно оценить скорость изменения этого поля. Вычисление по формуле /17/ показывает, что амплитуда поля уменьшается в два раза в точке  $z=0$  за время  $t = \frac{1}{\sqrt{3}c} \cdot \frac{b}{\sqrt{\gamma^2-1}}$ . В тот же момент времени в точке  $z = \frac{b}{2\gamma}$  поле составляет величину 0,6 от максимального. Как видно, время существования значительной величины поля увеличивается с уменьшением скорости движения сгустка.

#### ЛИТЕРАТУРА

1. Ломизе Л.Г. ЖТФ, 1980, 50, вып.9, с.1815.
2. Рубин С.Б., Мамонов В.Н. ОИЯИ, 9-3346-2, Дубна, 1967.
3. Кузнецов А.Б., Рубин С.Б. ЖТФ, 1971, XLI, вып.9, с.1891.
4. Иванов И.Н. и др. ЭЧАЯ, 1971, т.1, вып.2, с.390.
5. Ломизе Л.Г., Свешникова Н.Н. Труды VI Всесоюзного совещания по ускорителям заряженных частиц. Дубна, 1978. ОИЯИ, Дубна, 1979, т.2, с.281.

Рукопись поступила в издательский отдел  
13 ноября 1981 года.